

地盤中の橿円形断面基礎の振動について

京都大学工学部	正員	後藤 尚男
京都大学工学部	正員	土岐 審三
京都大学工学部	正員	○秋吉 卓

1. まえがき これまで地中に埋設されている橋脚の耐震設計については種々の研究がなされてきている。特に埋設構造物の断面形が円形の場合に理論的な取扱いも試みられてきた¹⁾。しかし、実際に打設される構造物基礎は円形とは限らず、また円形以外の構造物の地震応答はその断面形によっても異なることが考えられる²⁾。そこでここでは、図-1のように構造物基礎が橿円形断面を持つ場合の地震応答について、円形断面の場合と同様な手法を用いて解析を進めた。この場合、簡単のために地震動を正弦波とみなすし、ロッキング振動のみを対象とした。

2. 運動方程式とその解 解析を進めうにあたって次の仮定を行なう。地盤を等方均質な弾性体と考え、上下方向の変位は水平方向の変位に比べて小さいとしてこれを省略する。また基盤に $e_0 e^{i\omega t}$ なる正弦振動をなし、減衰を無視すると、短軸方向の地盤に関する運動方程式は橿円筒座標で次のように書ける。

$$(\lambda + 2\mu) \frac{\partial}{\partial \eta} \left\{ \frac{\partial}{\partial \eta} (\ell u_3) + \frac{\partial}{\partial \eta} (\ell u_2) \right\} - \mu \frac{\partial}{\partial \eta} \left\{ \frac{\partial}{\partial z} (\ell u_2) - \frac{\partial}{\partial z} (\ell u_3) \right\} + \mu \frac{\partial^2 u_2}{\partial z^2} = \rho \frac{\partial^2 u_3}{\partial t^2} - \rho e_0 \omega^2 e^{i\omega t} \frac{k \cosh \xi \sin \eta}{\ell} \quad \dots(1)$$

$$(\lambda + 2\mu) \frac{\partial}{\partial \eta} \left\{ \frac{\partial}{\partial z} (\ell u_3) + \frac{\partial}{\partial z} (\ell u_2) \right\} + \mu \frac{\partial}{\partial z} \left\{ \frac{\partial}{\partial \eta} (\ell u_2) - \frac{\partial}{\partial \eta} (\ell u_3) \right\} + \mu \frac{\partial^2 u_3}{\partial z^2} = \rho \frac{\partial^2 u_2}{\partial t^2} - \rho e_0 \omega^2 e^{i\omega t} \frac{k \sinh \xi \cos \eta}{\ell} \quad \dots(2)$$

ここで、 $\ell = \sqrt{\cosh 2\xi - \cos 2\eta} / \sqrt{2}$, λ, μ : Lamé の定数, ρ : 地盤の密度, e_0 : 基盤の最大振幅, $k = \sqrt{a^2 - b^2}$, a, b : 橿円形断面の長径と短径, u_3, u_2 : z と η 方向の変位。式(1), (2)の一一般解として $z = H$ (地表面) で, $U_{3z} = U_{2z} = 0$ を満足するように z 方向にフーリエ級数に展開して次の結果を得た。

$$u_3 = \sum_{m=1,3,5}^{\infty} \frac{1}{\ell} \left\{ C N_{e_i}^{(m)}(\xi, \eta) s_{e_i}(\eta, \theta_1) - D M_{e_i}^{(m)}(\xi, \eta) c_{e_i}(\eta, \theta_1) - \frac{4e_0 k \cosh \xi \sin \eta}{m \pi \xi_m^2} \left(\frac{\omega}{\omega_0} \right)^2 \right\} \sin \frac{m \pi z}{2H} e^{i\omega t} \quad \dots(3)$$

$$u_2 = \sum_{m=1,3,5}^{\infty} \frac{1}{\ell} \left\{ C N_{e_i}^{(m)}(\xi, \eta) s_{e_i}(\eta, \theta_2) + D M_{e_i}^{(m)}(\xi, \eta) c_{e_i}(\eta, \theta_2) - \frac{4e_0 k \sinh \xi \cos \eta}{m \pi \xi_m^2} \left(\frac{\omega}{\omega_0} \right)^2 \right\} \sin \frac{m \pi z}{2H} e^{i\omega t} \quad \dots(4)$$

ここで、 $M_{e_i}^{(m)}(\xi, \eta)$, $N_{e_i}^{(m)}(\xi, \eta)$ は変形マシュー関数, $c_{e_i}(\eta, \theta_1)$, $s_{e_i}(\eta, \theta_1)$ はマシュー関数で、それらにダッシュを付したもののは、その微分形である。C, D: 積分定数, $\omega_0 = \nu_0 \cdot \pi / 2H$,

$$\xi_m^2 = \left(\frac{\omega}{\omega_0} \right)^2 - m^2, \quad \theta_1 = \frac{k^2}{4} \left(\frac{\pi}{2H} \right)^2 \xi_m^2, \quad \theta_2 = \frac{k^2}{4} \left(\frac{\pi}{2H} \right)^2 \xi_m^2, \quad \nu_0^2 = \frac{4}{f}, \quad m^2 = \Delta + 2\mu.$$

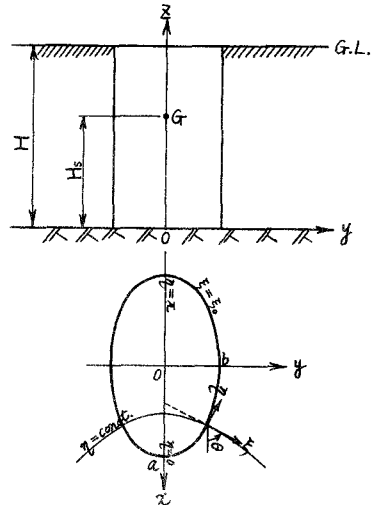


図-1 地盤上の橿円形断面基礎のモデル

このとき、応力 σ 、 τ と変位 u との関係は

$$\sigma_3 = \lambda \left\{ \frac{\partial}{\partial z} (l u_3) + \frac{\partial}{\partial \eta} (l u_2) \right\} + 2\mu \left\{ \frac{l}{\ell} \frac{\partial^2 u_3}{\partial z^2} + \frac{u_2}{\ell^2} \frac{\partial l}{\partial \eta} \right\}, \quad \tau_{32} = \mu \left\{ \frac{\partial}{\partial z} \left(\frac{u_2}{\ell} \right) + \frac{\partial}{\partial \eta} \left(\frac{u_3}{\ell} \right) \right\}$$

であるから、高さ方向単位長当たりの横円柱にかかる土による全振動圧 F は

$$F = \oint (\sigma_3 \cdot \sin \theta + \tau_{32} \cos \theta) ds = \int (a \sin \eta \cdot \sigma_3 + b \cos \eta \cdot \tau_{32}) d\eta \\ = - \sum_{m=1,3,5}^{\infty} \rho \pi \omega_g^2 \xi_m^2 \left\{ C \cdot a B_e^{(m)} N_e^{(m)}(\xi_0, \eta_1) + D \cdot b A_e^{(m)} M_e^{(m)}(\xi_0, \eta_2) \right\} \sin \frac{m \pi \eta}{2H} e^{i \omega t} \quad (5)$$

これより地盤表層の振動により引き起されたモーメント M は

$$M = \int_0^H F \cdot z dz = - \sum_{m=1,3,5}^{\infty} \rho \pi \omega_g^2 \xi_m^2 \left(\frac{m \pi}{2H} \right)^2 (-1)^{\frac{m-1}{2}} \left\{ C \cdot a B_e^{(m)} N_e^{(m)}(\xi_0, \eta_1) + D \cdot b A_e^{(m)} M_e^{(m)}(\xi_0, \eta_2) \right\} \sin \frac{m \pi \eta}{2H} e^{i \omega t} \quad (6)$$

しかして、積分定数 C, D は剛基礎体の変位と地盤の変位との連続条件より求められる。

一方、剛基礎体の総質量を m_0 、その重心の基盤からの高さを H_s 、底面中心線 (x 軸) における慣性モーメントを I 、底面のロッキングのばね定数を k_r とすると、この剛体の運動方程式は次のように書ける。

$$I \ddot{\varphi} + k_r \varphi = m_0 e_0 \omega^2 H_s e^{i \omega t} + M \quad (7)$$

いま式 (7) の解を $\varphi = \varphi_0 e^{i \omega t}$ とすと

$$\varphi_0 = \frac{m_0 H_s - \frac{16abP\ell^3}{\pi^2} \sum_{m=1,3,\dots}^{\infty} \frac{(-1)^{\frac{m-1}{2}}}{m^3} \Omega_m}{k_r - I \omega^2 + \frac{32abP\ell^3}{\pi^3} \omega_g^2 \sum_{m=1,3,\dots}^{\infty} \xi_m^2 \frac{\Omega_m}{m^4}} e^{i \omega t} \quad (8)$$

$$\text{ただし} \quad \Omega_m = \frac{\frac{a}{b} (B_e^{(m)})^2 \frac{M_e^{(m)}(\xi_0, \eta_2)}{M_e^{(m)}(\xi_0, \eta_1)} + \frac{b}{a} (A_e^{(m)})^2 \frac{N_e^{(m)}(\xi_0, \eta_1)}{N_e^{(m)}(\xi_0, \eta_2)} - 2 A_e^{(m)} B_e^{(m)} \sum_{r=0}^{\infty} (2r+1) A_{2r+1}^{(m)} B_{2r+1}^{(m)}}{\frac{M_e^{(m)}(\xi_0, \eta_2)}{M_e^{(m)}(\xi_0, \eta_1)} \frac{N_e^{(m)}(\xi_0, \eta_1)}{N_e^{(m)}(\xi_0, \eta_2)} - \left(\sum_{r=0}^{\infty} (2r+1) A_{2r+1}^{(m)} B_{2r+1}^{(m)} \right)^2} \quad (9)$$

かくして、剛体の頂部における振幅の増幅率 K は次のように求まる。

$$K = \left| \frac{g_0 H + e_0}{e_0} \right| = \left| 1 + \frac{m_0 H_s - \frac{16abP\ell^3}{\pi^2} \sum_{m=1,3,\dots}^{\infty} \frac{(-1)^{\frac{m-1}{2}}}{m^3} \Omega_m}{\frac{k_r}{\omega_g^2} - I \left(\frac{\omega}{\omega_g} \right)^2 + \frac{32abP\ell^3}{\pi^3} \sum_{m=1,3,\dots}^{\infty} \xi_m^2 \frac{\Omega_m}{m^4}} \left(\frac{\omega}{\omega_g} \right)^2 \right| \quad (10)$$

ただし、 $(\omega/\omega_g)^2 - m^2 < 0$ のときは $M_e^{(m)}(\xi_0, \eta_2), N_e^{(m)}(\xi_0, \eta_1)$ のかわりに、それそれ $F_{ek_1}(\xi_0, -\eta_2), G_{ek_1}(\xi_0, -\eta_1)$ を用いる。

以上は短軸方向に振動する場合についての解析であるが、長軸方向の振動のときは η_1, η_2 の値を互に入れ換えることによって同様の取扱いができる。数值計算結果については講演時に述べる予定である。

1) 田治見 兼：深川基礎を有する構造物の地盤応答について、日本地盤工学シンポジウム (1966)。

2) 小坪 清真：横円形水中橋脚に働く地盤力、九大工学雑誌、第37巻、第3号、昭39。